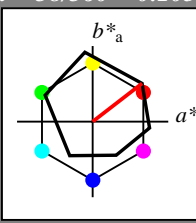


Eingabe: Farbmatisches Reflexions-System ORS18

für Buntton $h^* = lab^*h = 38/360 = 0.105$
 lab^*tch und lab^*nch

D65: Buntton O
 LCH*Ma: 48 83 38
 rgb*Ma: 1.0 0.0 0.0

Dreiecks-Helligkeit



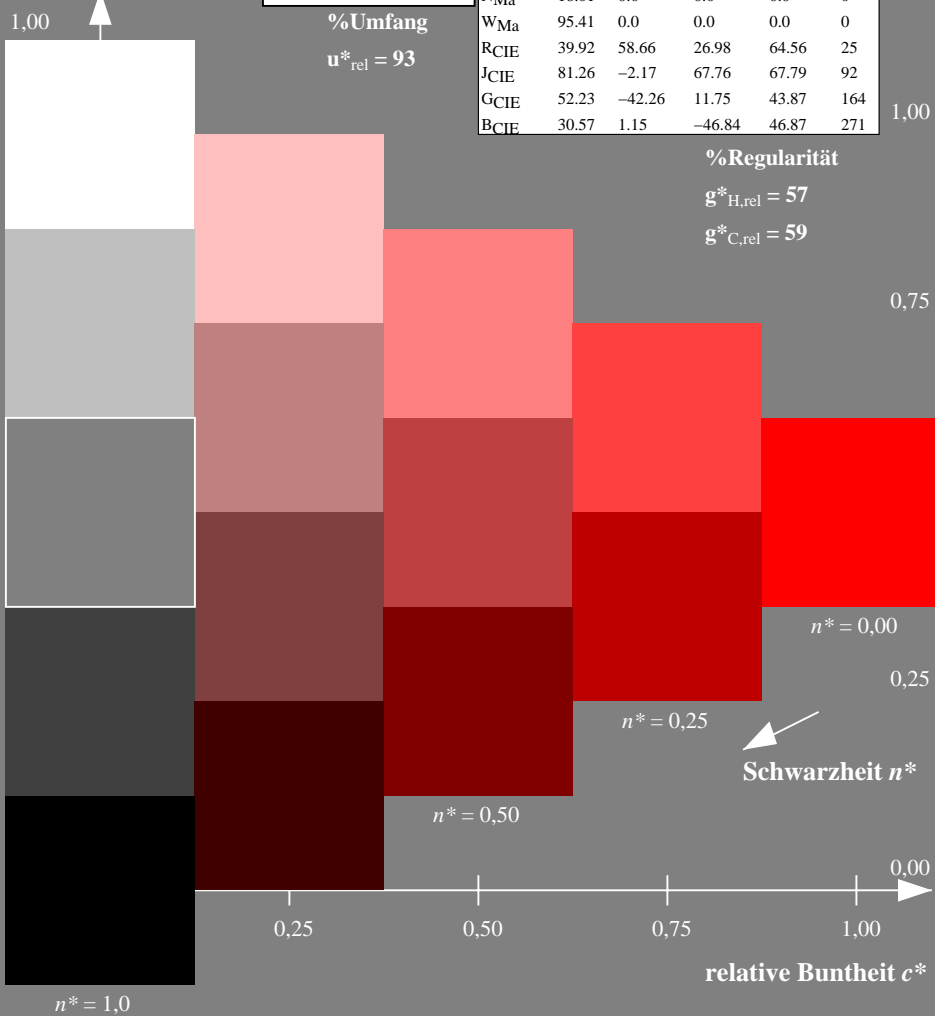
ORS18; adaptierte CIELAB-Daten

	$L^*=L^*_a$	a^*_a	b^*_a	$C^*_{ab,a}$	$h^*_{ab,a}$
OMa	47.94	65.37	50.52	82.62	38
YMa	50.37	-10.27	91.77	92.34	96
LMa	90.9	-62.79	34.95	71.87	151
CMa	58.62	-30.35	-45.01	54.3	236
VMa	25.71	31.11	-44.42	54.24	305
MMa	48.13	75.27	-8.35	75.73	354
NMa	18.01	0.0	0.0	0.0	0
WMa	95.41	0.0	0.0	0.0	0
RCIE	39.92	58.66	26.98	64.56	25
JCIE	81.26	-2.17	67.76	67.79	92
GCIE	52.23	-42.26	11.75	43.87	164
BCIE	30.57	1.15	-46.84	46.87	271

%Regularität

$g^*_{H,rel} = 57$

$g^*_{C,rel} = 59$

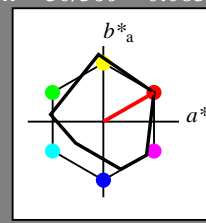


Ausgabe: Farbmatisches Reflexions-System MRS18

für Buntton $h^* = lab^*h = 30/360 = 0.083$
 lab^*tch und lab^*nch

D65: Buntton R
 LCH*Ma: 50 77 30
 rgb*Ma: 1.0 0.0 0.0

Dreiecks-Helligkeit



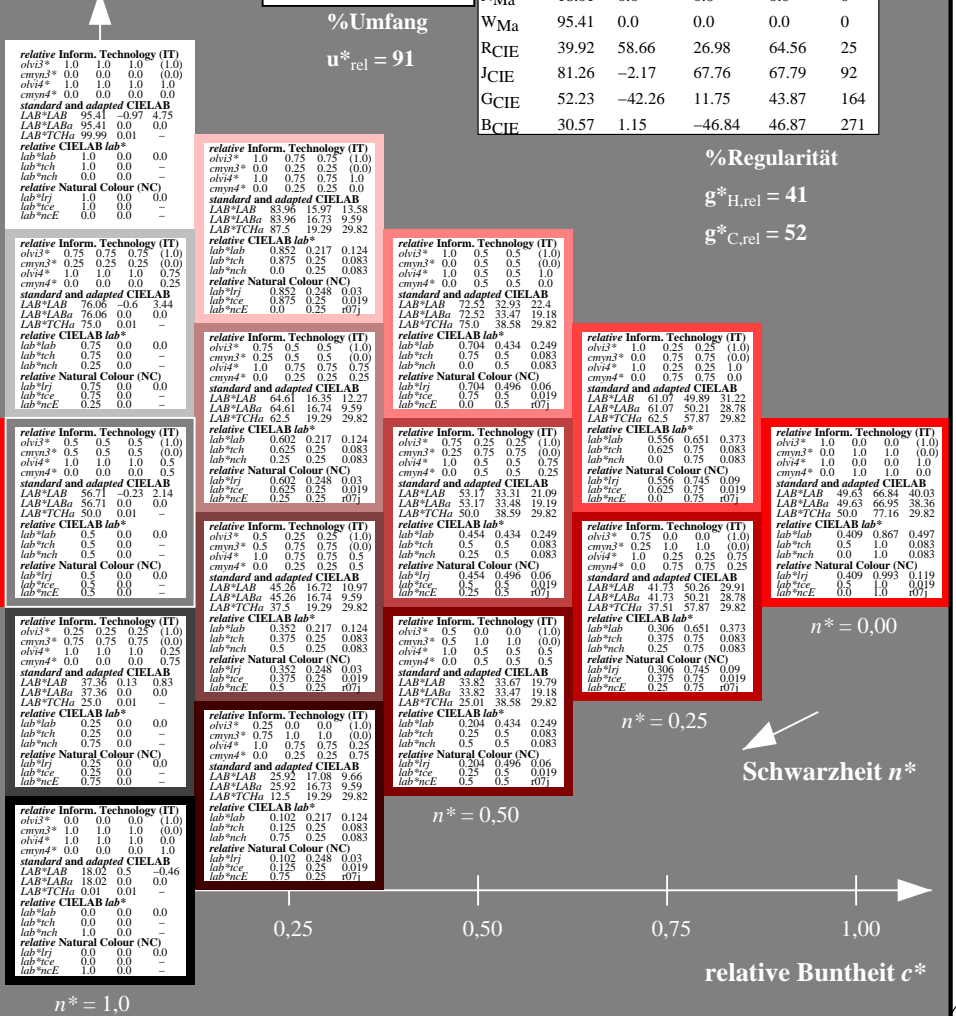
MRS18; adaptierte CIELAB-Daten

	$L^*=L^*_a$	a^*_a	b^*_a	$C^*_{ab,a}$	$h^*_{ab,a}$
RMa	49.63	66.96	38.37	77.18	30
JMa	90.7	-6.36	88.75	88.98	94
GMa	52.11	-69.73	9.44	70.37	172
G50BMa	45.03	-36.57	-28.47	46.36	218
BMa	36.65	23.19	-63.05	67.18	290
B50RMa	34.94	57.17	-44.26	72.31	322
NMa	18.01	0.0	0.0	0.0	0
WMa	95.41	0.0	0.0	0.0	0
RCIE	39.92	58.66	26.98	64.56	25
JCIE	81.26	-2.17	67.76	67.79	92
GCIE	52.23	-42.26	11.75	43.87	164
BCIE	30.57	1.15	-46.84	46.87	271

%Regularität

$g^*_{H,rel} = 41$

$g^*_{C,rel} = 52$



TG400-7, 5stufige Reihen für konstanten CIELAB Buntton 38/360 = 0.105 (links)

5stufige Reihen für konstanten CIELAB Buntton 30/360 = 0.083 (rechts)

BAM-Prüfvorlage TG40; Farbmatrik-Systeme ORS18 & MRS18input: $olv^* setrgbcolor$
 D65: 5stufige Farbreihen und Koordinaten-Daten für 10 Bunttöneoutput: *no change compared to input*

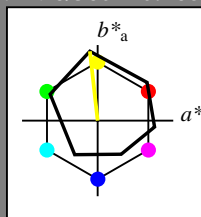
BAM-Registrierung: 20060101-TG40/10Q/Q40G00NP.PS/.PDF BAM-Material: Code=rh4ta
 Anwendung für Beurteilung und Messung von Drucker- oder Monitorssystemen
 /TG40/ Form 1/10, Serie: 1/1, Seite: 1
 Scherzhang 1

Eingabe: Farbmatisches Reflexions-System ORS18

für Bunton $h^* = lab^*h = 96/360 = 0.268$
 lab^*tch und lab^*nch

D65: Bunton Y
 LCH*Ma: 90 92 96
 rgb*Ma: 1.0 1.0 0.0

Dreiecks-Helligkeit



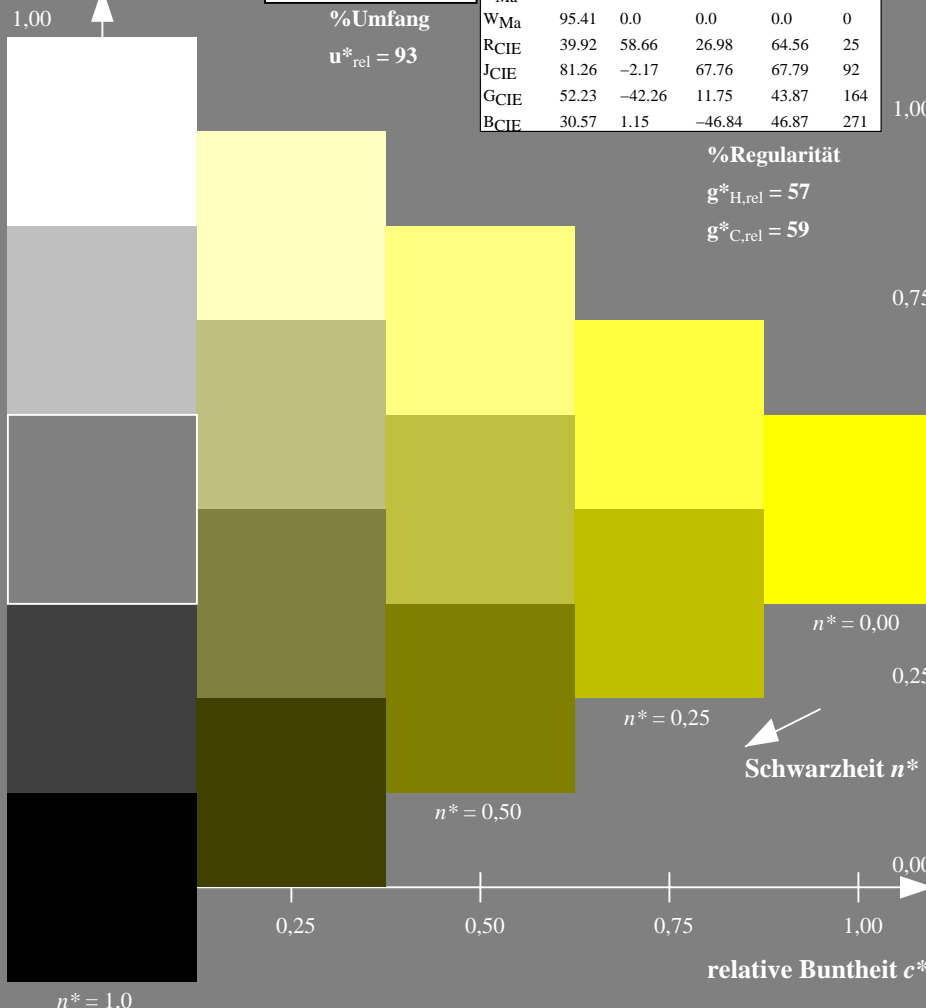
ORS18; adaptierte CIELAB-Daten

	$L^*=L^*_a$	a^*_a	b^*_a	$C^*_{ab,a}$	$h^*_{ab,a}$
OMa	47.94	65.37	50.52	82.62	38
YMa	90.37	-10.27	91.77	92.34	96
LMa	50.9	-62.79	34.95	71.87	151
CMa	58.62	-30.35	-45.01	54.3	236
VMa	25.71	31.11	-44.42	54.24	305
MMa	48.13	75.27	-8.35	75.73	354
NMa	18.01	0.0	0.0	0.0	0
WMa	95.41	0.0	0.0	0.0	0
RCIE	39.92	58.66	26.98	64.56	25
JCIE	81.26	-2.17	67.76	67.79	92
GCIE	52.23	-42.26	11.75	43.87	164
BCIE	30.57	1.15	-46.84	46.87	271

%Regularität

$g^*_{H,rel} = 57$

$g^*_{C,rel} = 59$

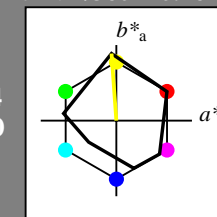


Ausgabe: Farbmatisches Reflexions-System MRS18

für Bunton $h^* = lab^*h = 94/360 = 0.261$
 lab^*tch und lab^*nch

D65: Bunton J
 LCH*Ma: 91 89 94
 rgb*Ma: 1.0 1.0 0.0

Dreiecks-Helligkeit



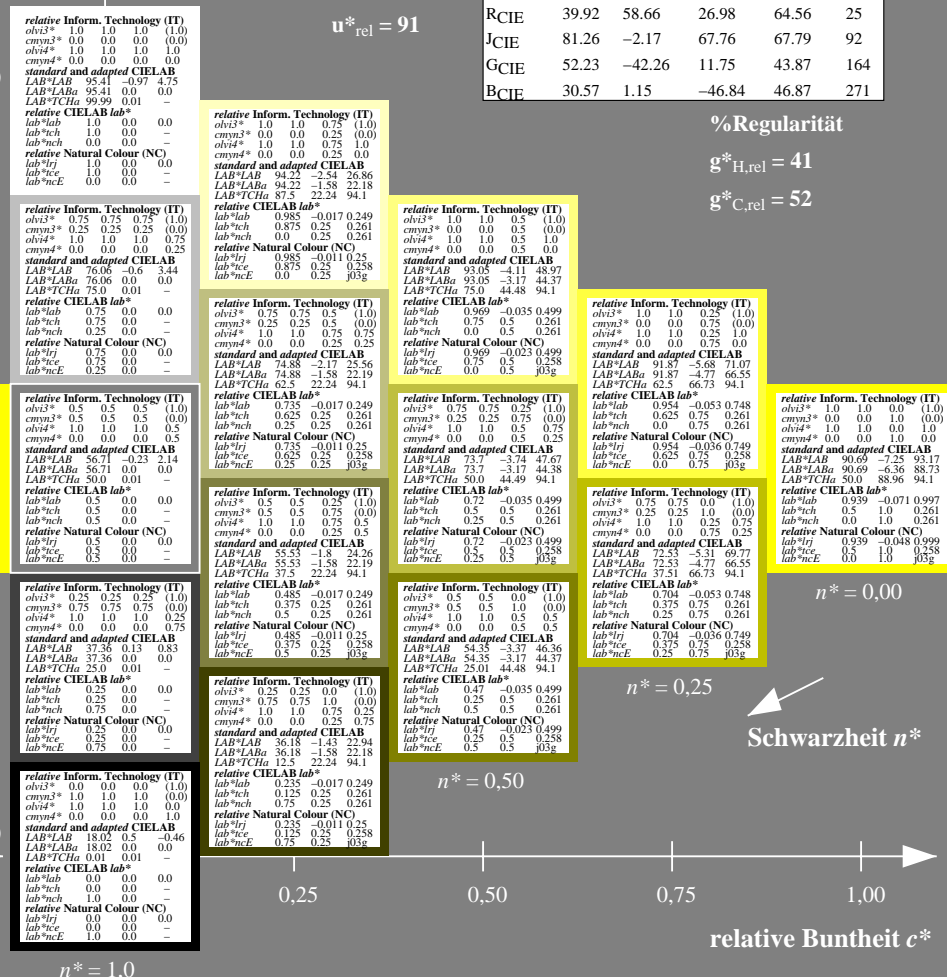
MRS18; adaptierte CIELAB-Daten

	$L^*=L^*_a$	a^*_a	b^*_a	$C^*_{ab,a}$	$h^*_{ab,a}$
RMa	49.63	66.96	38.37	77.18	30
JMa	90.7	-6.36	88.75	88.98	94
GMa	52.11	-69.73	9.44	70.37	172
G50BMa	45.03	-36.57	-28.47	46.36	218
BMa	36.65	23.19	-63.05	67.18	290
B50RMa	34.94	57.17	-44.26	72.31	322
NMa	18.01	0.0	0.0	0.0	0
WMa	95.41	0.0	0.0	0.0	0
RCIE	39.92	58.66	26.98	64.56	25
JCIE	81.26	-2.17	67.76	67.79	92
GCIE	52.23	-42.26	11.75	43.87	164
BCIE	30.57	1.15	-46.84	46.87	271

%Regularität

$g^*_{H,rel} = 41$

$g^*_{C,rel} = 52$



TG400-7, 5stufige Reihen für konstanten CIELAB Bunton $96/360 = 0.268$ (links)

5stufige Reihen für konstanten CIELAB Bunton $94/360 = 0.261$ (rechts)

BAM-Prüfvorlage TG40; Farbmeter-Systeme ORS18 & MRS18input: $olv^* setrgbcolor$

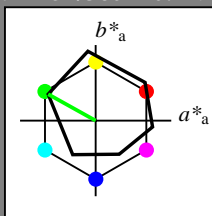
D65: 5stufige Farbreihen und Koordinaten-Daten für 10 Bunttöneoutput: *no change compared to input*

Eingabe: Farbmatisches Reflexions-System ORS18

für Bunton $h^* = lab^*h = 151/360 = 0.419$
 lab^*tch und lab^*nch

D65: Bunton L
 LCH*Ma: 51 72 151
 rgb*Ma: 0.0 1.0 0.0

Dreiecks-Helligkeit



ORS18; adaptierte CIELAB-Daten

	$L^*=L^*_a$	a^*_a	b^*_a	$C^*_{ab,a}$	$h^*_{ab,a}$
OMa	47.94	65.37	50.52	82.62	38
YMa	90.37	-10.27	91.77	92.34	96
LMa	50.9	-62.79	34.95	71.87	151
CMa	58.62	-30.35	-45.01	54.3	236
VMa	25.71	31.11	-44.42	54.24	305
MMa	48.13	75.27	-8.35	75.73	354
NMa	18.01	0.0	0.0	0.0	0
WMa	95.41	0.0	0.0	0.0	0
RCIE	39.92	58.66	26.98	64.56	25
JCIE	81.26	-2.17	67.76	67.79	92
GCIE	52.23	-42.26	11.75	43.87	164
BCIE	30.57	1.15	-46.84	46.87	271

%Regularität

$g^*_{H,rel} = 57$

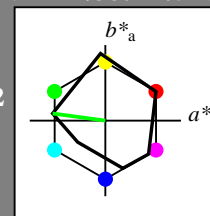
$g^*_{C,rel} = 59$

Ausgabe: Farbmatisches Reflexions-System MRS18

für Bunton $h^* = lab^*h = 172/360 = 0.479$
 lab^*tch und lab^*nch

D65: Bunton G
 LCH*Ma: 52 70 172
 rgb*Ma: 0.0 1.0 0.0

Dreiecks-Helligkeit



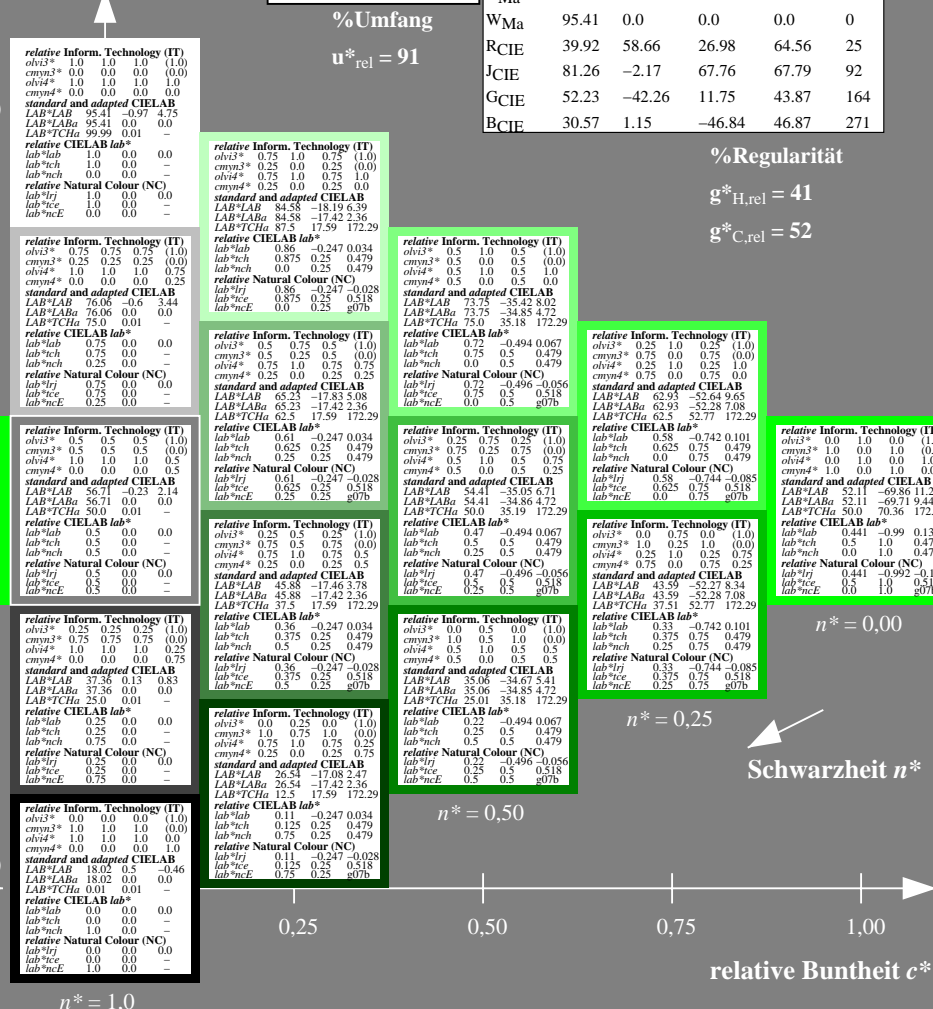
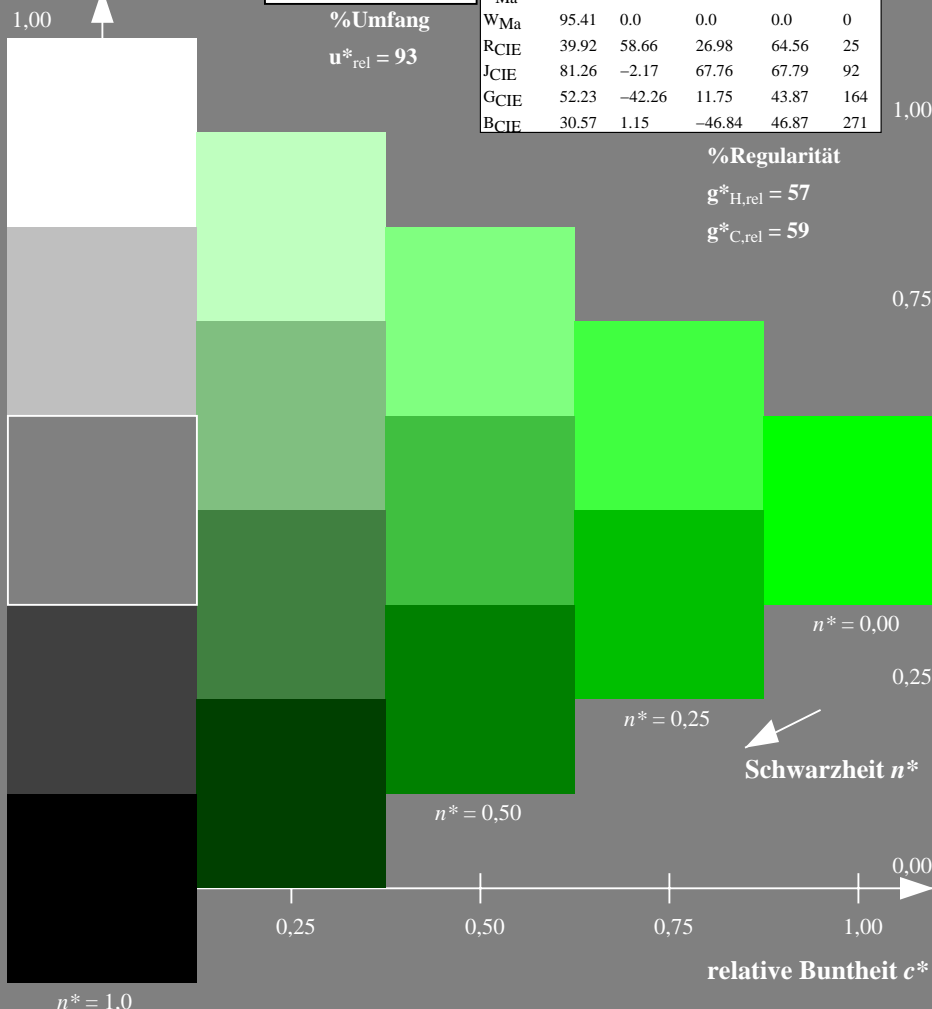
MRS18; adaptierte CIELAB-Daten

	$L^*=L^*_a$	a^*_a	b^*_a	$C^*_{ab,a}$	$h^*_{ab,a}$
RMa	49.63	66.96	38.37	77.18	30
JMa	90.7	-6.36	88.75	88.98	94
GMa	52.11	-69.73	9.44	70.37	172
G50BMa	45.03	-36.57	-28.47	46.36	218
BMa	36.65	23.19	-63.05	67.18	290
B50RMa	34.94	57.17	-44.26	72.31	322
NMa	18.01	0.0	0.0	0.0	0
WMa	95.41	0.0	0.0	0.0	0
RCIE	39.92	58.66	26.98	64.56	25
JCIE	81.26	-2.17	67.76	67.79	92
GCIE	52.23	-42.26	11.75	43.87	164
BCIE	30.57	1.15	-46.84	46.87	271

%Regularität

$g^*_{H,rel} = 41$

$g^*_{C,rel} = 52$



TG400-7, 5 stufige Reihen für konstanten CIELAB Bunton 151/360 = 0.419 (links)

5 stufige Reihen für konstanten CIELAB Bunton 172/360 = 0.479 (rechts)

BAM-Prüfvorlage TG40; Farbmatrik-Systeme ORS18 & MRS18input: $olv^* setrgbcolor$

D65: 5stufige Farbreihen und Koordinaten-Daten für 10 Buntonöoutput: *no change compared to input*

Siehe ähnliche Dateien: <http://www.ps.bam.de/TG40/>
 Technische Information: <http://www.ps.bam.de> Version 2.1, io=1,1

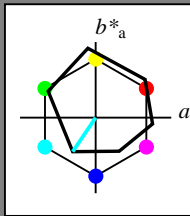
BAM-Registrierung: 20060101-TG40/10Q/Q40G02NP.PS/.PDF BAM-Material: Code=rh4ta
 Anwendung für Beurteilung und Messung von Drucker- oder Monitorsystemen
 /TG40/ Form 3/10, Serie: 1/1, Seite: 3
 Scherz hung 3

Eingabe: Farbmatisches Reflexions-System ORS18

für Buntton $h^* = lab^*h = 236/360 = 0.656$
 lab^*tch und lab^*nch

D65: Buntton C
 LCH*Ma: 59 54 236
 rgb*Ma: 0.0 1.0 1.0

Dreiecks-Helligkeit



ORS18; adaptierte CIELAB-Daten

	$L^*=L^*_a$	a^*_a	b^*_a	$C^*_{ab,a}$	$h^*_{ab,a}$
OMa	47.94	65.37	50.52	82.62	38
YMa	90.37	-10.27	91.77	92.34	96
LMa	50.9	-62.79	34.95	71.87	151
CMa	58.62	-30.35	-45.01	54.3	236
VMa	25.71	31.11	-44.42	54.24	305
MMa	48.13	75.27	-8.35	75.73	354
NMa	18.01	0.0	0.0	0.0	0
WMa	95.41	0.0	0.0	0.0	0
RCIE	39.92	58.66	26.98	64.56	25
JCIE	81.26	-2.17	67.76	67.79	92
GCIE	52.23	-42.26	11.75	43.87	164
BCIE	30.57	1.15	-46.84	46.87	271

%Regularität

$g^*_{H,rel} = 57$

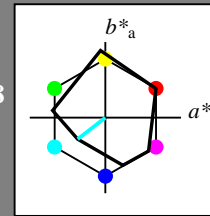
$g^*_{C,rel} = 59$

Ausgabe: Farbmatisches Reflexions-System MRS18

für Buntton $h^* = lab^*h = 218/360 = 0.605$
 lab^*tch und lab^*nch

D65: Buntton G50B
 LCH*Ma: 45 46 218
 rgb*Ma: 0.0 1.0 1.0

Dreiecks-Helligkeit



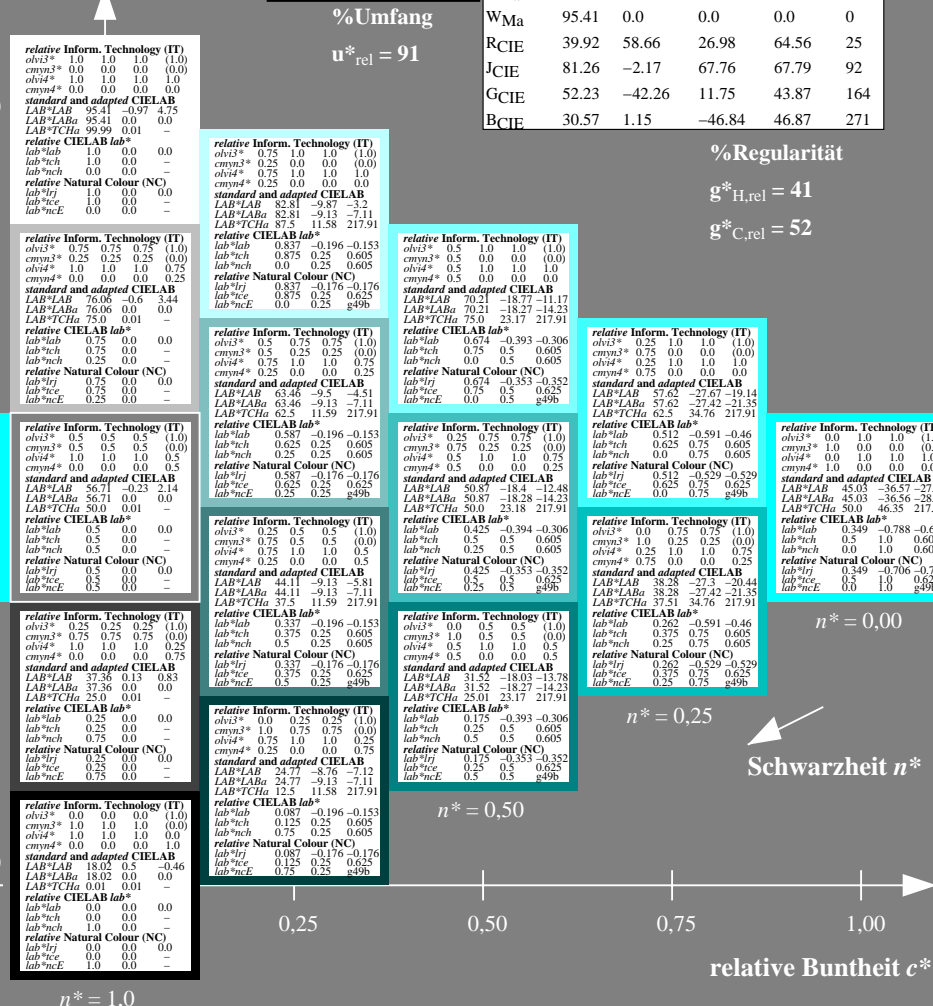
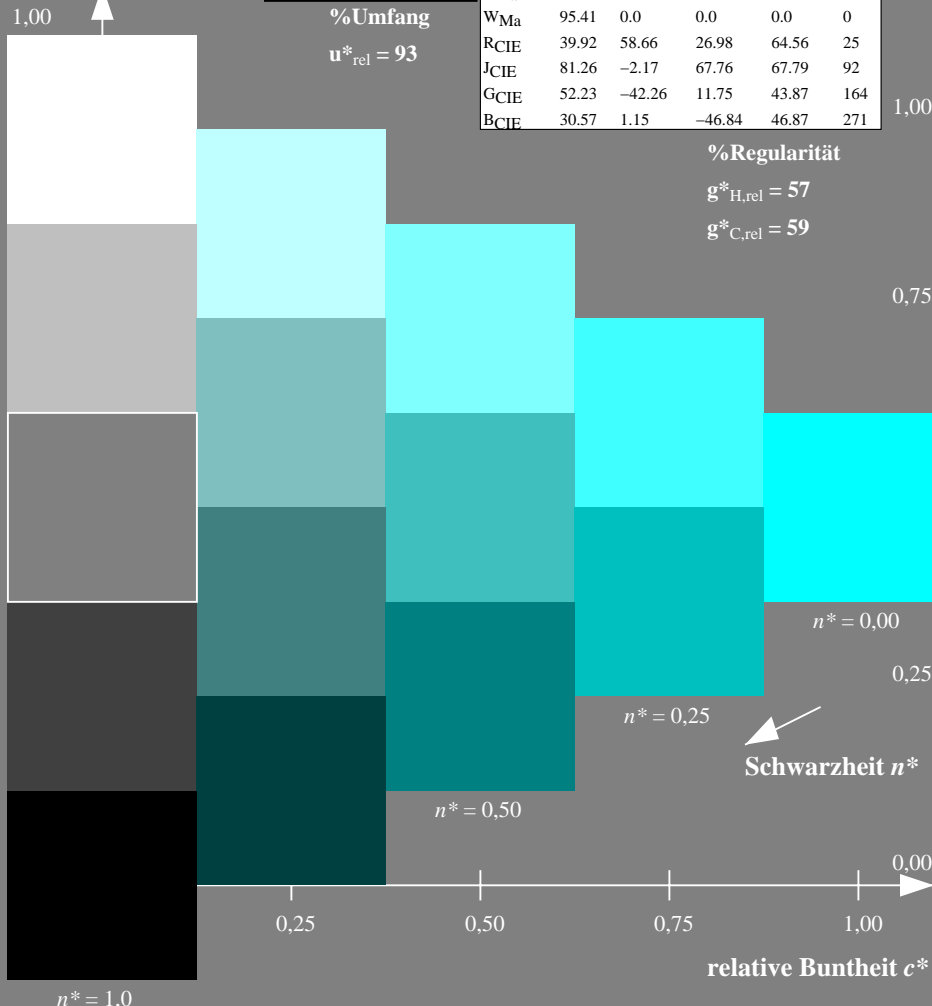
MRS18; adaptierte CIELAB-Daten

	$L^*=L^*_a$	a^*_a	b^*_a	$C^*_{ab,a}$	$h^*_{ab,a}$
RMa	49.63	66.96	38.37	77.18	30
JMa	90.7	-6.36	88.75	88.98	94
GMa	52.11	-69.73	9.44	70.37	172
G50BMa	45.03	-36.57	-28.47	46.36	218
BMa	36.65	23.19	-63.05	67.18	290
B50RMa	34.94	57.17	-44.26	72.31	322
NMa	18.01	0.0	0.0	0.0	0
WMa	95.41	0.0	0.0	0.0	0
RCIE	39.92	58.66	26.98	64.56	25
JCIE	81.26	-2.17	67.76	67.79	92
GCIE	52.23	-42.26	11.75	43.87	164
BCIE	30.57	1.15	-46.84	46.87	271

%Regularität

$g^*_{H,rel} = 41$

$g^*_{C,rel} = 52$



TG400-7, 5stufige Reihen für konstanten CIELAB Buntton 236/360 = 0.656 (links)

5stufige Reihen für konstanten CIELAB Buntton 218/360 = 0.605 (rechts)

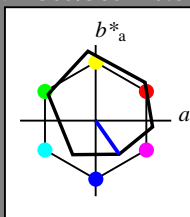
BAM-Prüfvorlage TG40; Farbmatrik-Systeme ORS18 & MRS18input: $olv^* setrgbcolor$
 D65: 5stufige Farbreihen und Koordinaten-Daten für 10 Bunttöneoutput: *no change compared to input*

Eingabe: Farbmatisches Reflexions-System ORS18

für Buntton $h^* = lab^*h = 305/360 = 0.847$
 lab^*tch und lab^*nch

D65: Buntton V
 LCH*Ma: 26 54 305
 rgb*Ma: 0.0 0.0 1.0

Dreiecks-Helligkeit



ORS18; adaptierte CIELAB-Daten

	$L^*=L^*_a$	a^*_a	b^*_a	$C^*_{ab,a}$	$h^*_{ab,a}$
OMa	47.94	65.37	50.52	82.62	38
YMa	90.37	-10.27	91.77	92.34	96
LMa	50.9	-62.79	34.95	71.87	151
CMa	58.62	-30.35	-45.01	54.3	236
VMa	25.71	31.11	-44.42	54.24	305
MMa	48.13	75.27	-8.35	75.73	354
NMa	18.01	0.0	0.0	0.0	0
WMa	95.41	0.0	0.0	0.0	0
RCIE	39.92	58.66	26.98	64.56	25
JCIE	81.26	-2.17	67.76	67.79	92
GCIE	52.23	-42.26	11.75	43.87	164
BCIE	30.57	1.15	-46.84	46.87	271

%Regularität

$g^*_{H,rel} = 57$

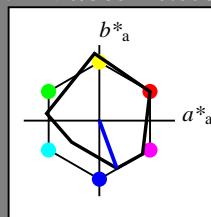
$g^*_{C,rel} = 59$

Ausgabe: Farbmatisches Reflexions-System MRS18

für Buntton $h^* = lab^*h = 290/360 = 0.806$
 lab^*tch und lab^*nch

D65: Buntton B
 LCH*Ma: 37 67 290
 rgb*Ma: 0.0 0.0 1.0

Dreiecks-Helligkeit



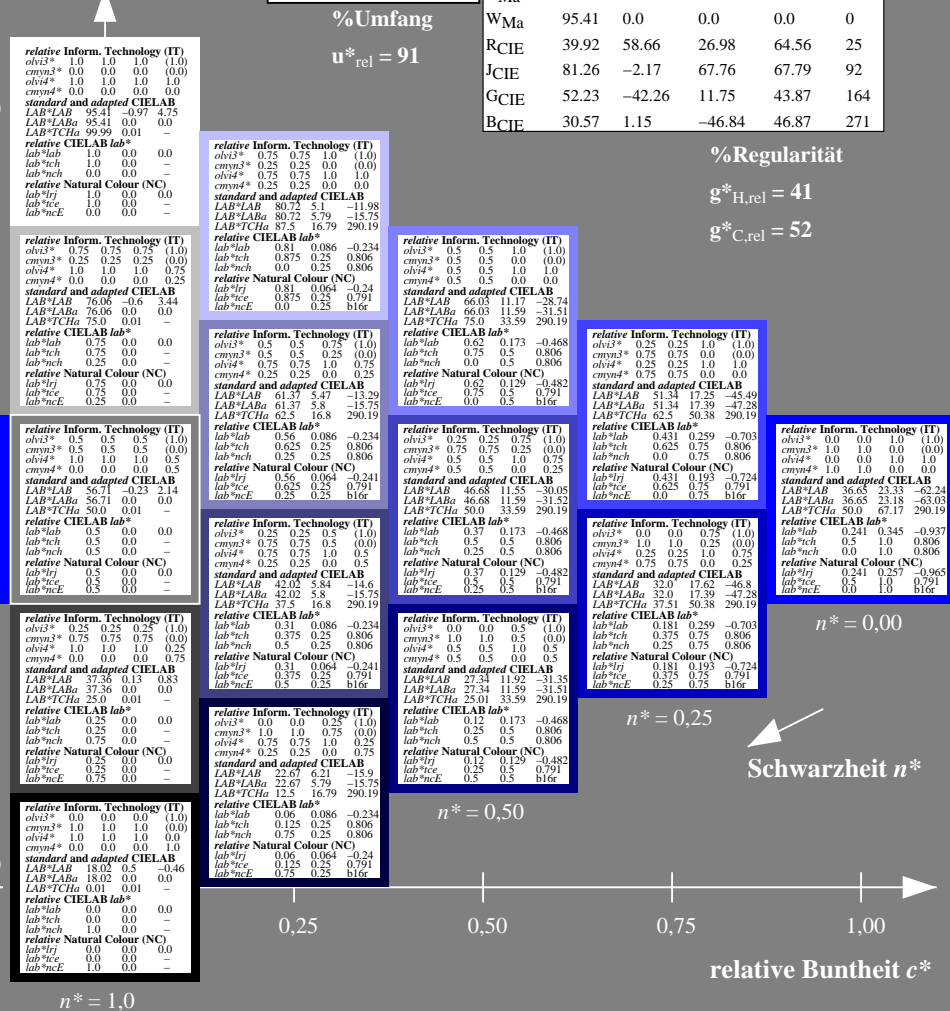
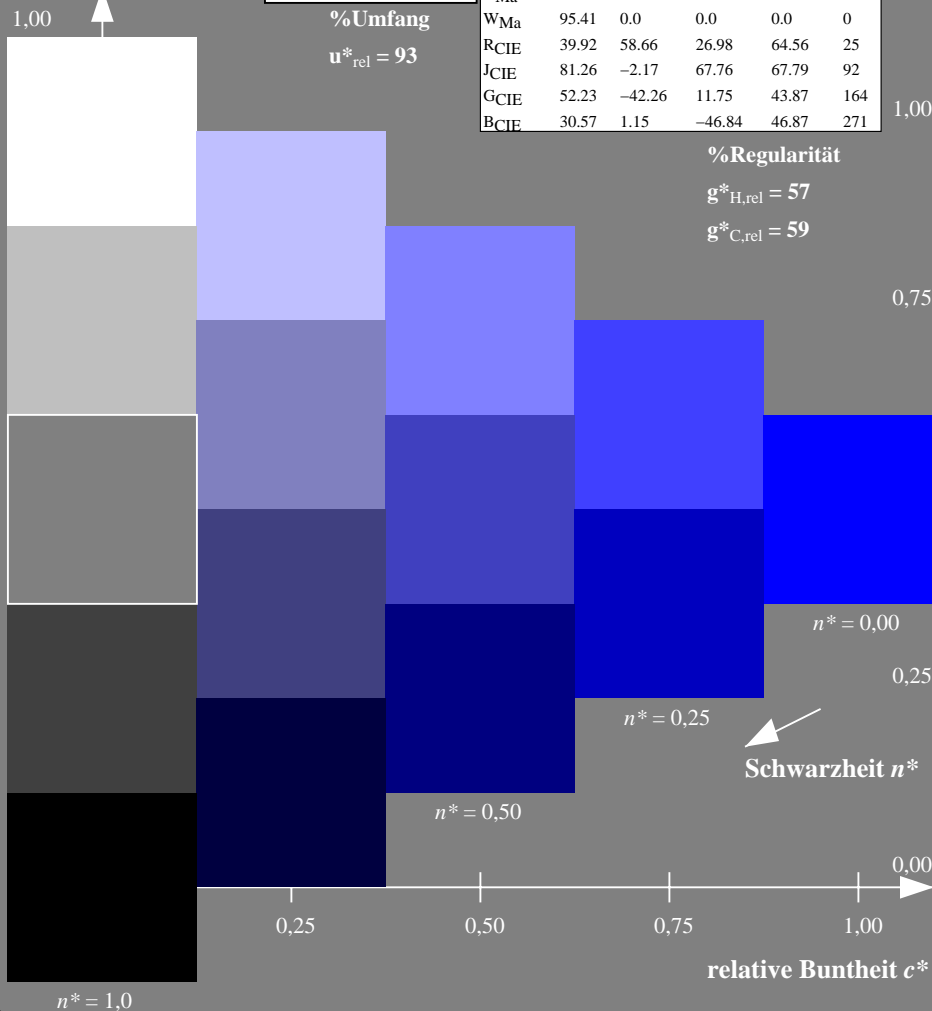
MRS18; adaptierte CIELAB-Daten

	$L^*=L^*_a$	a^*_a	b^*_a	$C^*_{ab,a}$	$h^*_{ab,a}$
RMa	49.63	66.96	38.37	77.18	30
JMa	90.7	-6.36	88.75	88.98	94
GMa	52.11	-69.73	9.44	70.37	172
G50BMa	45.03	-36.57	-28.47	46.36	218
BMa	36.65	23.19	-63.05	67.18	290
B50RMa	34.94	57.17	-44.26	72.31	322
NMa	18.01	0.0	0.0	0.0	0
WMa	95.41	0.0	0.0	0.0	0
RCIE	39.92	58.66	26.98	64.56	25
JCIE	81.26	-2.17	67.76	67.79	92
GCIE	52.23	-42.26	11.75	43.87	164
BCIE	30.57	1.15	-46.84	46.87	271

%Regularität

$g^*_{H,rel} = 41$

$g^*_{C,rel} = 52$



TG400-7, 5stufige Reihen für konstanten CIELAB Buntton 305/360 = 0.847 (links)

5 stufige Reihen für konstanten CIELAB Buntton 290/360 = 0.806 (rechts)

BAM-Prüfvorlage TG40; Farbmatrik-Systeme ORS18 & MRS18input: $olv^* setrgbcolor$

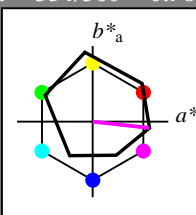
D65: 5stufige Farbreihen und Koordinaten-Daten für 10 Bunttöneoutput: *no change compared to input*

Eingabe: Farbmatisches Reflexions-System ORS18

für Buntton $h^* = lab^*h = 354/360 = 0.982$
 lab^*tch und lab^*nch

D65: Buntton M
 LCH*Ma: 48 76 354
 rgb*Ma: 1.0 0.0 1.0

Dreiecks-Helligkeit



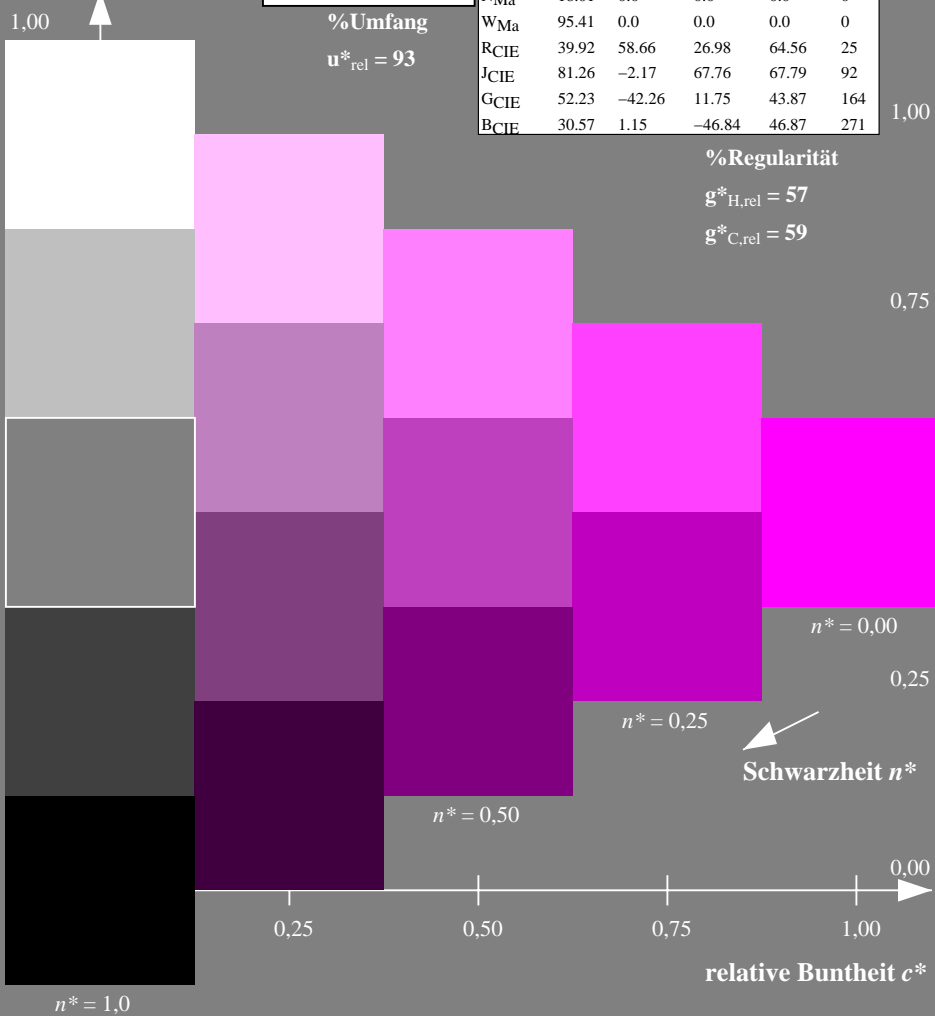
ORS18; adaptierte CIELAB-Daten

	$L^*=L^*_a$	a^*_a	b^*_a	$C^*_{ab,a}$	$h^*_{ab,a}$
OMa	47.94	65.37	50.52	82.62	38
YMa	90.37	-10.27	91.77	92.34	96
LMa	50.59	-62.79	34.95	71.87	151
CMa	58.62	-30.35	-45.01	54.3	236
VMa	25.71	31.11	-44.42	54.24	305
MMa	48.13	75.27	-8.35	75.73	354
NMa	18.01	0.0	0.0	0.0	0
WMa	95.41	0.0	0.0	0.0	0
RCIE	39.92	58.66	26.98	64.56	25
JCIE	81.26	-2.17	67.76	67.79	92
GCIE	52.23	-42.26	11.75	43.87	164
BCIE	30.57	1.15	-46.84	46.87	271

%Regularität

$g^*_{H,rel} = 57$

$g^*_{C,rel} = 59$

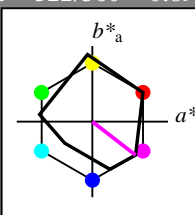


Ausgabe: Farbmatisches Reflexions-System MRS18

für Buntton $h^* = lab^*h = 322/360 = 0.895$
 lab^*tch und lab^*nch

D65: Buntton B50R
 LCH*Ma: 35 72 322
 rgb*Ma: 1.0 0.0 1.0

Dreiecks-Helligkeit



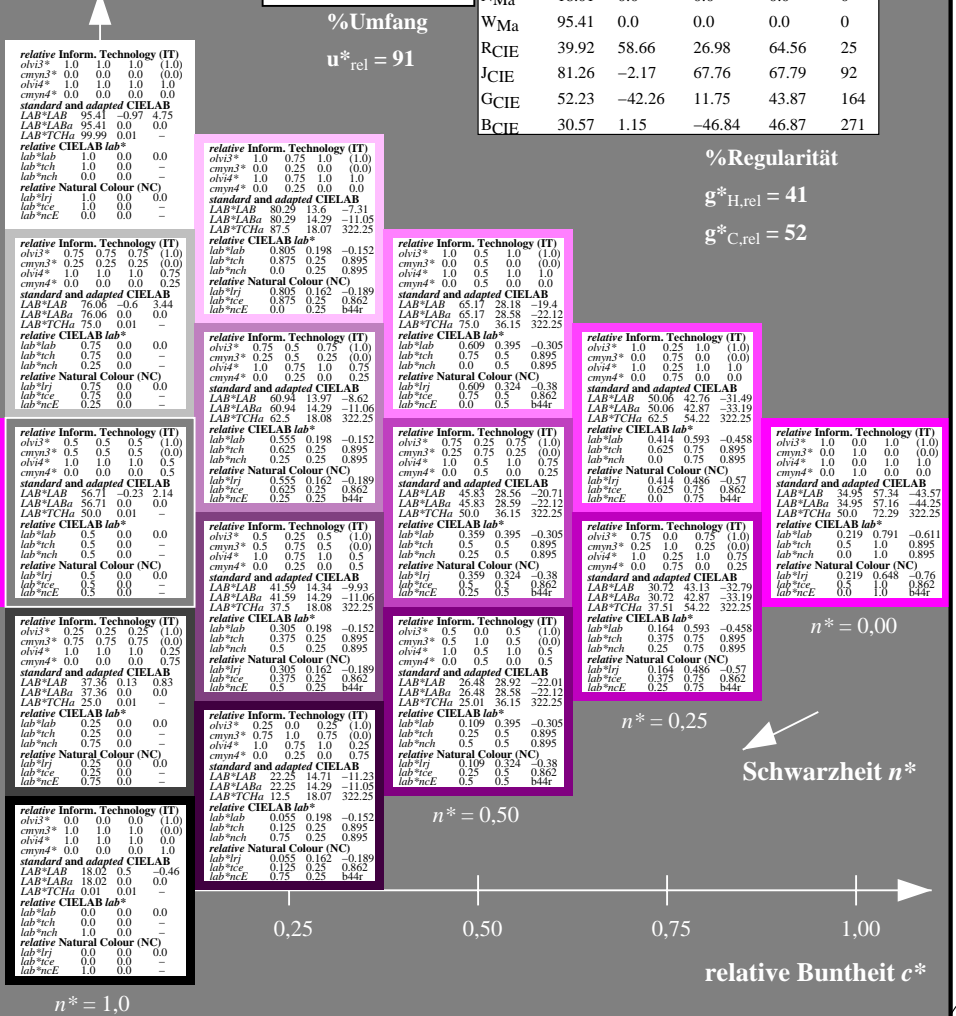
MRS18; adaptierte CIELAB-Daten

	$L^*=L^*_a$	a^*_a	b^*_a	$C^*_{ab,a}$	$h^*_{ab,a}$
RMa	49.63	66.96	38.37	77.18	30
JMa	90.7	-6.36	88.75	88.98	94
GMa	52.11	-69.73	9.44	70.37	172
G50BMa	45.03	-36.57	-28.47	46.36	218
BMa	36.65	23.19	-63.05	67.18	290
B50RMa	34.94	57.17	-44.26	72.31	322
NMa	18.01	0.0	0.0	0.0	0
WMa	95.41	0.0	0.0	0.0	0
RCIE	39.92	58.66	26.98	64.56	25
JCIE	81.26	-2.17	67.76	67.79	92
GCIE	52.23	-42.26	11.75	43.87	164
BCIE	30.57	1.15	-46.84	46.87	271

%Regularität

$g^*_{H,rel} = 41$

$g^*_{C,rel} = 52$



TG400-7, 5 stufige Reihen für konstanten CIELAB Buntton 354/360 = 0.982 (links)

5 stufige Reihen für konstanten CIELAB Buntton 322/360 = 0.895 (rechts)

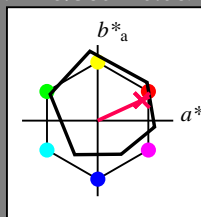
BAM-Prüfvorlage TG40; Farbmatrik-Systeme ORS18 & MRS18input: $olv^* setrgbcolor$
 D65: 5stufige Farbreihen und Koordinaten-Daten für 10 Bunttöneoutput: *no change compared to input*

Eingabe: Farbmatisches Reflexions-System ORS18

für Buntton $h^* = lab^*h = 25/360 = 0.069$
 lab^*tch und lab^*nch

D65: Buntton R
 LCH*Ma: 48 75 25
 rgb*Ma: 1.0 0.0 0.32

Dreiecks-Helligkeit



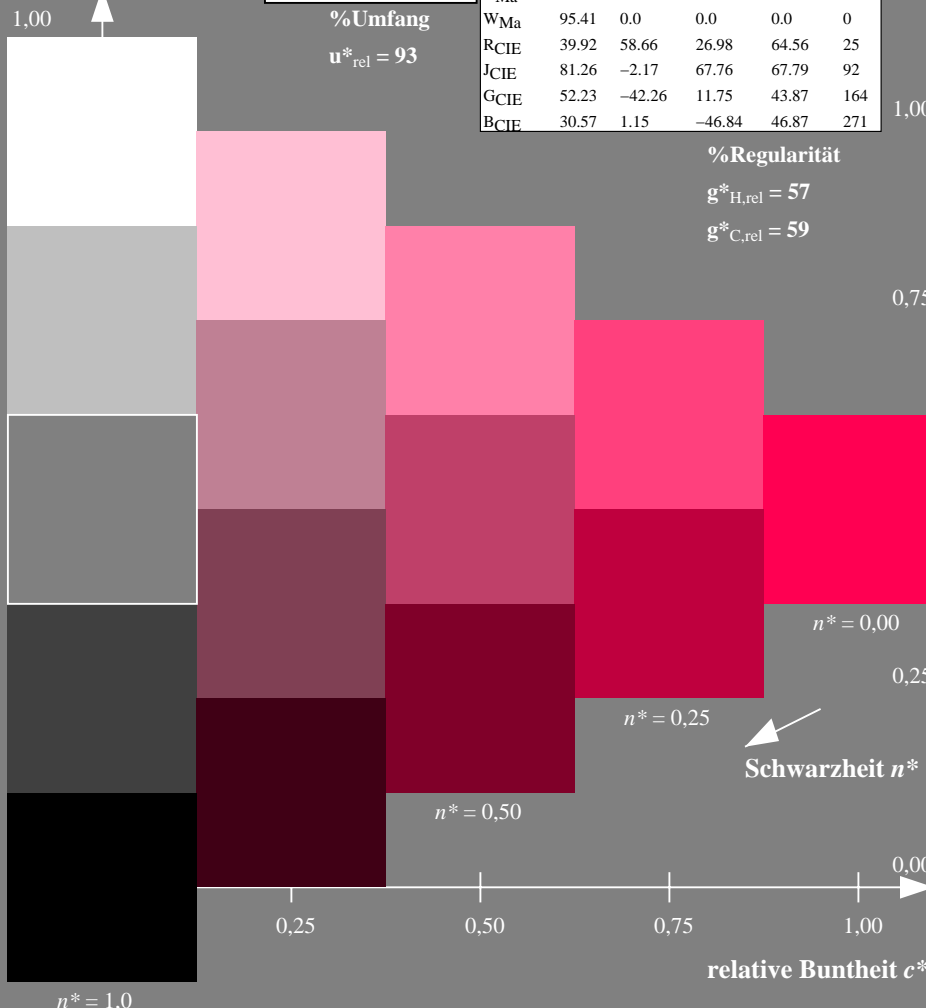
ORS18; adaptierte CIELAB-Daten

	$L^*=L^*_a$	a^*_a	b^*_a	$C^*_{ab,a}$	$h^*_{ab,a}$
OMa	47.94	65.37	50.52	82.62	38
YMa	90.37	-10.27	91.77	92.34	96
LMa	50.9	-62.79	34.95	71.87	151
CMa	58.62	-30.35	-45.01	54.3	236
VMa	25.71	31.11	-44.42	54.24	305
MMa	48.13	75.27	-8.35	75.73	354
NMa	18.01	0.0	0.0	0.0	0
WMa	95.41	0.0	0.0	0.0	0
RCIE	39.92	58.66	26.98	64.56	25
JCIE	81.26	-2.17	67.76	67.79	92
GCIE	52.23	-42.26	11.75	43.87	164
BCIE	30.57	1.15	-46.84	46.87	271

%Regularität

$g^*_{H,rel} = 57$

$g^*_{C,rel} = 59$

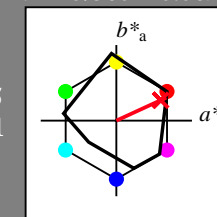


Ausgabe: Farbmatisches Reflexions-System MRS18

für Buntton $h^* = lab^*h = 25/360 = 0.069$
 lab^*tch und lab^*nch

D65: Buntton R
 LCH*Ma: 48 73 25
 rgb*Ma: 1.0 0.0 0.1

Dreiecks-Helligkeit



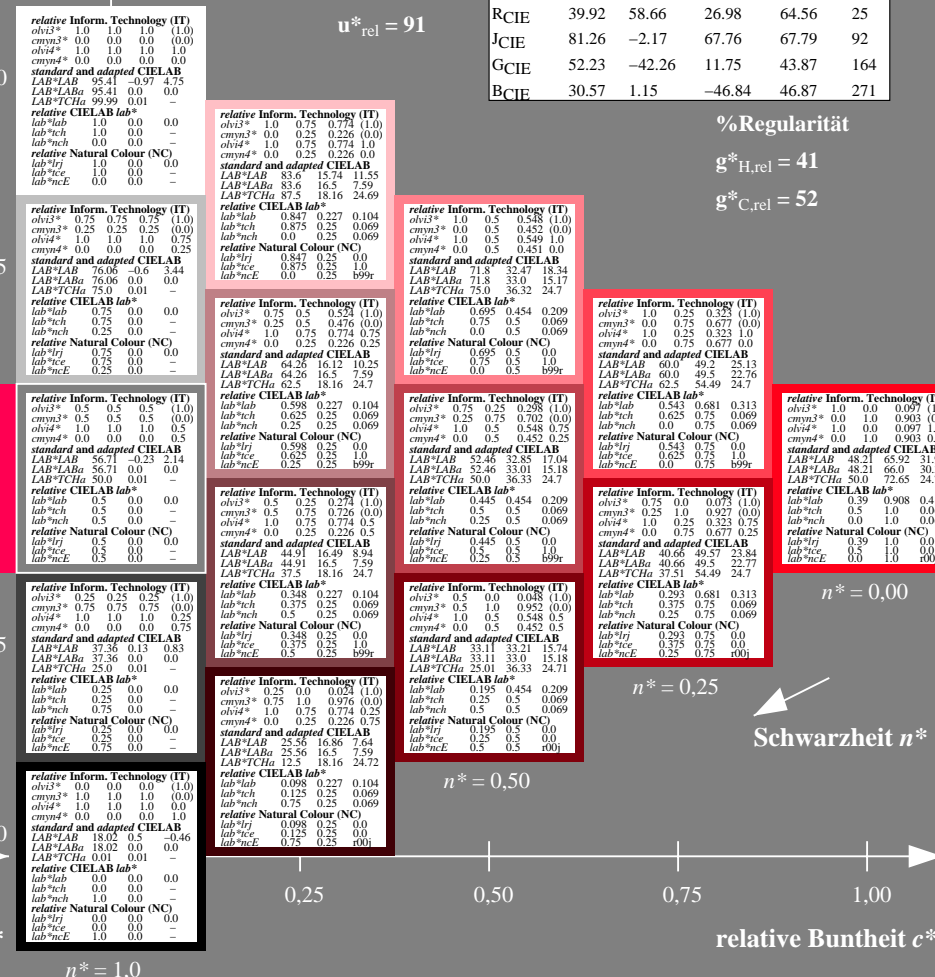
MRS18; adaptierte CIELAB-Daten

	$L^*=L^*_a$	a^*_a	b^*_a	$C^*_{ab,a}$	$h^*_{ab,a}$
RMa	49.63	66.96	38.37	77.18	30
JMa	90.7	-6.36	88.75	88.98	94
GMa	52.11	-69.73	9.44	70.37	172
G50BMa	45.03	-36.57	-28.47	46.36	218
BMa	36.65	23.19	-63.05	67.18	290
B50RMa	34.94	57.17	-44.26	72.31	322
NMa	18.01	0.0	0.0	0.0	0
WMa	95.41	0.0	0.0	0.0	0
RCIE	39.92	58.66	26.98	64.56	25
JCIE	81.26	-2.17	67.76	67.79	92
GCIE	52.23	-42.26	11.75	43.87	164
BCIE	30.57	1.15	-46.84	46.87	271

%Regularität

$g^*_{H,rel} = 41$

$g^*_{C,rel} = 52$



TG400-7, 5stufige Reihen für konstanten CIELAB Buntton 25/360 = 0.069 (links)

5stufige Reihen für konstanten CIELAB Buntton 25/360 = 0.069 (rechts)

BAM-Prüfvorlage TG40; Farbmatrik-Systeme ORS18 & MRS18input: $olv^* setrgbcolor$

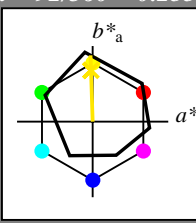
D65: 5stufige Farbreihen und Koordinaten-Daten für 10 Bunttöneoutput: *no change compared to input*

Eingabe: Farbmetrisches Reflexions-System ORS18

für Buntonn $h^* = lab^*h = 92/360 = 0.255$
 lab^*tch und lab^*nch

D65: Buntonn J
 LCH*Ma: 86 88 92
 rgb*Ma: 1.0 0.9 0.0

Dreiecks-Helligkeit



ORS18; adaptierte CIELAB-Daten

	$L^*=L^*_a$	a^*_a	b^*_a	$C^*_{ab,a}$	$h^*_{ab,a}$
OMa	47.94	65.37	50.52	82.62	38
YMa	90.37	-10.27	91.77	92.34	96
LMa	50.9	-62.79	34.95	71.87	151
CMa	58.62	-30.35	-45.01	54.3	236
VMa	25.71	31.11	-44.42	54.24	305
MMa	48.13	75.27	-8.35	75.73	354
NMa	18.01	0.0	0.0	0.0	0
WMa	95.41	0.0	0.0	0.0	0
RCIE	39.92	58.66	26.98	64.56	25
JCIE	81.26	-2.17	67.76	67.79	92
GCIE	52.23	-42.26	11.75	43.87	164
BCIE	30.57	1.15	-46.84	46.87	271

%Regularität

$g^*_{H,rel} = 57$

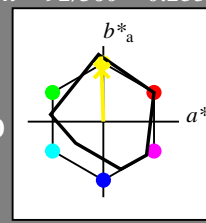
$g^*_{C,rel} = 59$

Ausgabe: Farbmetrisches Reflexions-System MRS18

für Buntonn $h^* = lab^*h = 92/360 = 0.255$
 lab^*tch und lab^*nch

D65: Buntonn J
 LCH*Ma: 89 86 92
 rgb*Ma: 1.0 0.95 0.0

Dreiecks-Helligkeit



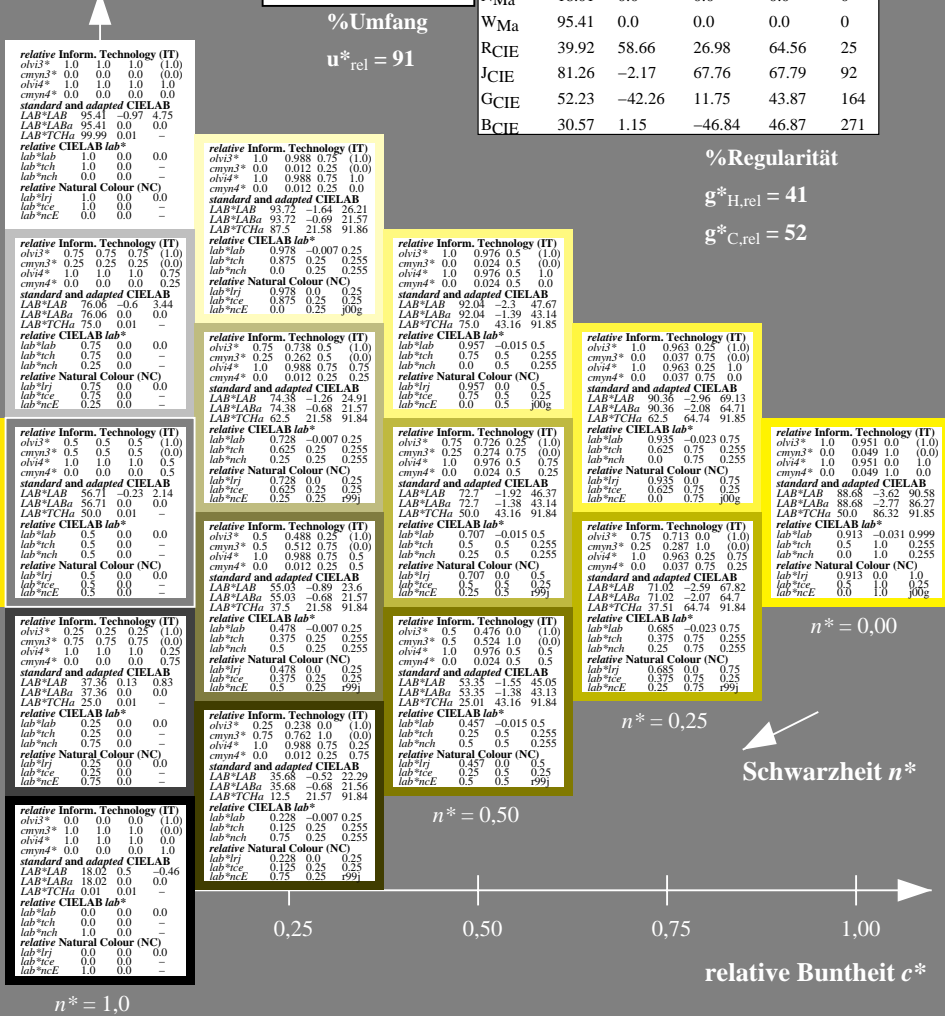
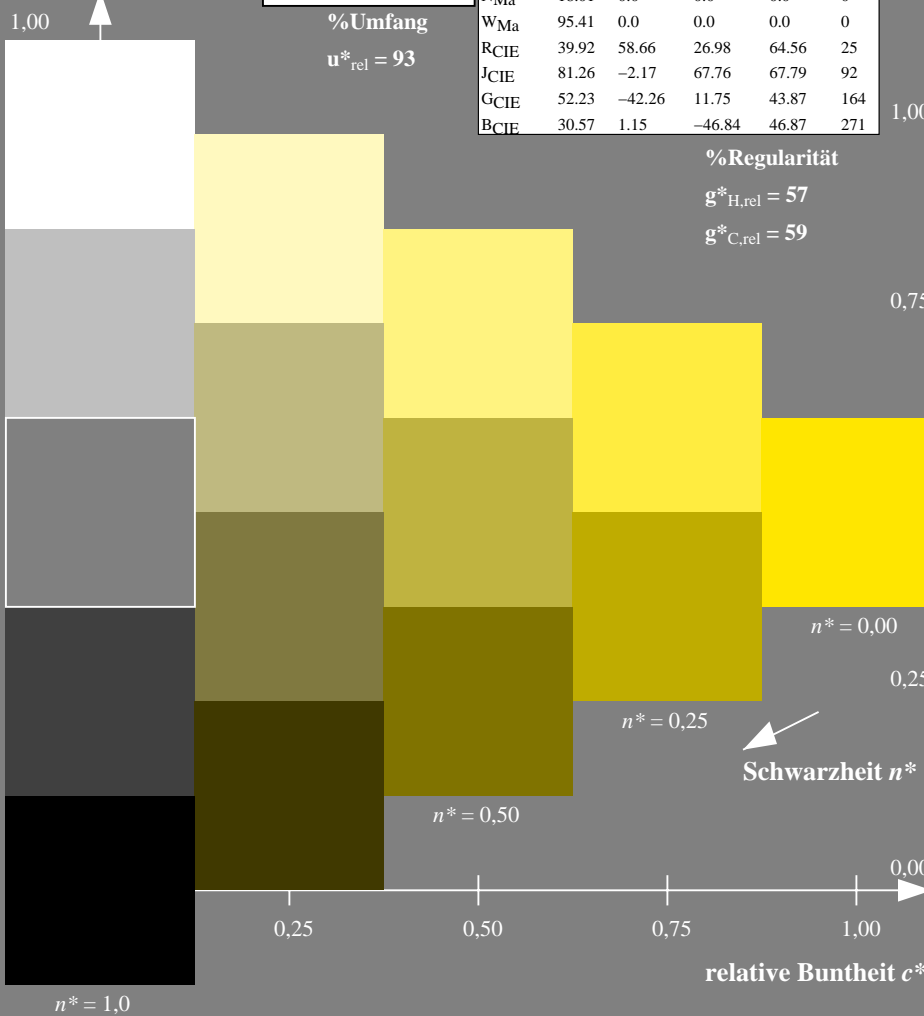
MRS18; adaptierte CIELAB-Daten

	$L^*=L^*_a$	a^*_a	b^*_a	$C^*_{ab,a}$	$h^*_{ab,a}$
RMa	49.63	66.96	38.37	77.18	30
JMa	90.7	-6.36	88.75	88.98	94
GMa	52.11	-69.73	9.44	70.37	172
G50BMa	45.03	-36.57	-28.47	46.36	218
BMa	36.65	23.19	-63.05	67.18	290
B50RMa	34.94	57.17	-44.26	72.31	322
NMa	18.01	0.0	0.0	0.0	0
WMa	95.41	0.0	0.0	0.0	0
RCIE	39.92	58.66	26.98	64.56	25
JCIE	81.26	-2.17	67.76	67.79	92
GCIE	52.23	-42.26	11.75	43.87	164
BCIE	30.57	1.15	-46.84	46.87	271

%Regularität

$g^*_{H,rel} = 41$

$g^*_{C,rel} = 52$



TG400-7, 5stufige Reihen für konstanten CIELAB Buntonn $92/360 = 0.255$ (links)

5stufige Reihen für konstanten CIELAB Buntonn $92/360 = 0.255$ (rechts)

BAM-Prüfvorlage TG40; Farbmetrik-Systeme ORS18 & MRS18input: $olv^* setrgbcolor$
 D65: 5stufige Farbreihen und Koordinaten-Daten für 10 Bunttöneoutput: no change compared to input

Siehe ähnliche Dateien: <http://www.ps.bam.de/TG40/>
 Technische Information: <http://www.ps.bam.de> Version 2.1, io=1,1

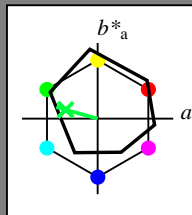
BAM-Registrierung: 20060101-TG40/10Q/Q40G07NP.PS/.PDF BAM-Material: Code=rh4ta
 Anwendung für Beurteilung und Messung von Drucker- oder Monitorsystemen
 Form 8/10, Serie: 1/1, Seite: 8
 Schenzhung 8

Eingabe: Farbmatisches Reflexions-System ORS18

für Buntton $h^* = lab^*h = 164/360 = 0.457$
 lab^*tch und lab^*nch

D65: Buntton G
 LCH*Ma: 53 57 164
 rgb*Ma: 0.0 1.0 0.25

Dreiecks-Helligkeit



ORS18; adaptierte CIELAB-Daten

	$L^*=L^*_a$	a^*_a	b^*_a	$C^*_{ab,a}$	$h^*_{ab,a}$
OMa	47.94	65.37	50.52	82.62	38
YMa	90.37	-10.27	91.77	92.34	96
LMa	50.9	-62.79	34.95	71.87	151
CMa	58.62	-30.35	-45.01	54.3	236
VMa	25.71	31.11	-44.42	54.24	305
MMa	48.13	75.27	-8.35	75.73	354
NMa	18.01	0.0	0.0	0.0	0
WMa	95.41	0.0	0.0	0.0	0
RCIE	39.92	58.66	26.98	64.56	25
JCIE	81.26	-2.17	67.76	67.79	92
GCIE	52.23	-42.26	11.75	43.87	164
BCIE	30.57	1.15	-46.84	46.87	271

%Regularität

$g^*_{H,rel} = 57$

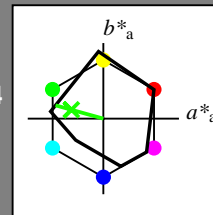
$g^*_{C,rel} = 59$

Ausgabe: Farbmatisches Reflexions-System MRS18

für Buntton $h^* = lab^*h = 164/360 = 0.457$
 lab^*tch und lab^*nch

D65: Buntton G
 LCH*Ma: 56 66 164
 rgb*Ma: 0.1 1.0 0.0

Dreiecks-Helligkeit



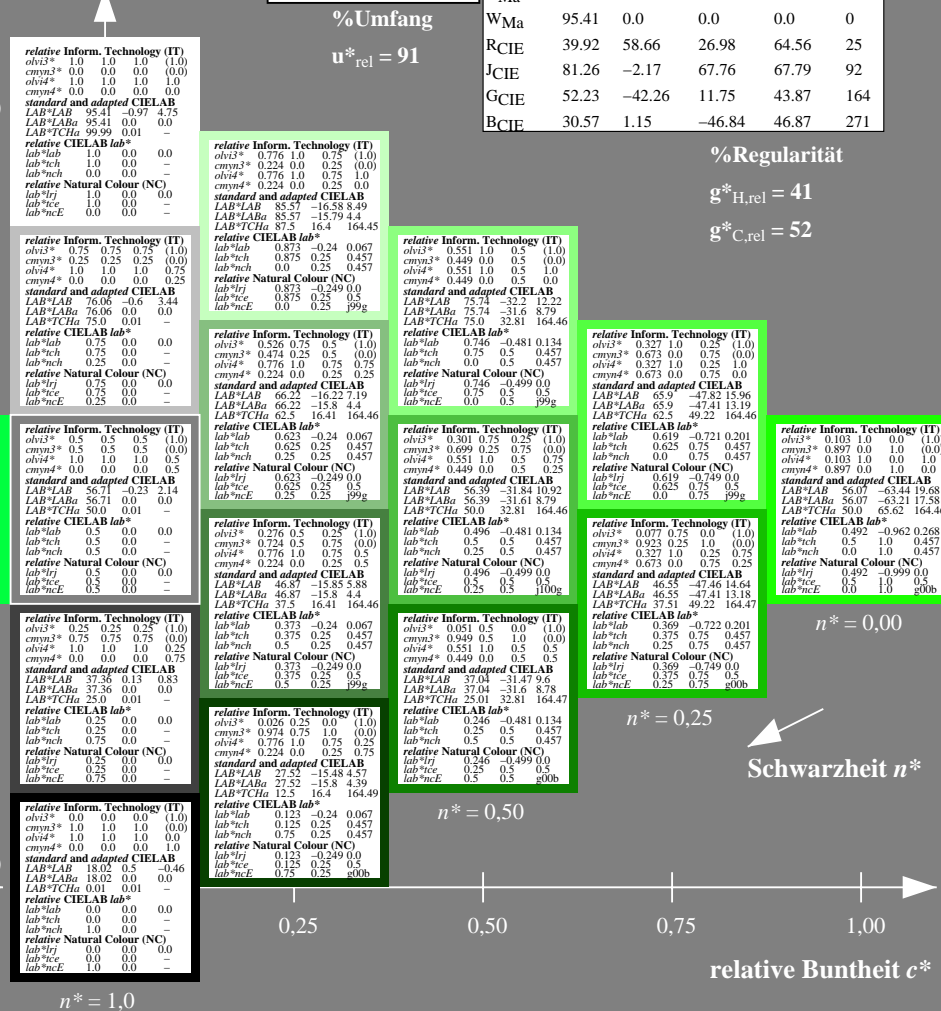
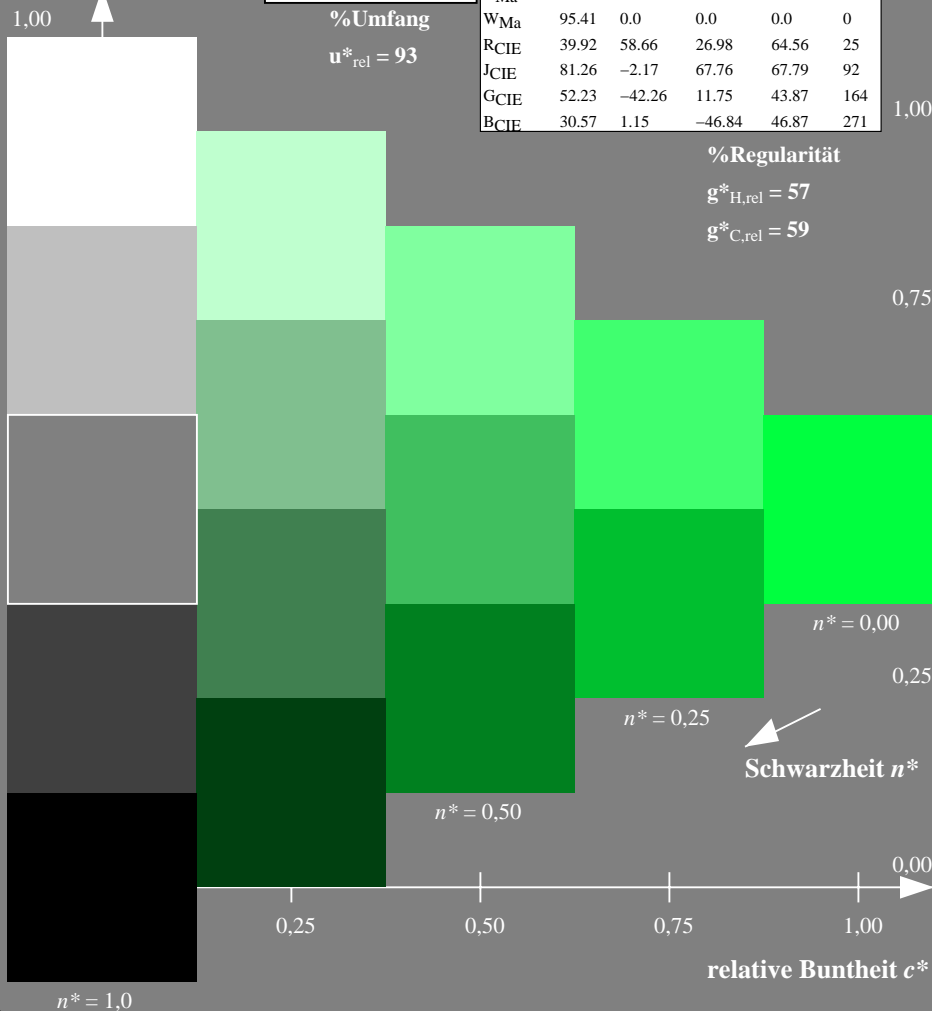
MRS18; adaptierte CIELAB-Daten

	$L^*=L^*_a$	a^*_a	b^*_a	$C^*_{ab,a}$	$h^*_{ab,a}$
RMa	49.63	66.96	38.37	77.18	30
JMa	90.7	-6.36	88.75	88.98	94
GMa	52.11	-69.73	9.44	70.37	172
G50BMa	45.03	-36.57	-28.47	46.36	218
BMa	36.65	23.19	-63.05	67.18	290
B50RMa	34.94	57.17	-44.26	72.31	322
NMa	18.01	0.0	0.0	0.0	0
WMa	95.41	0.0	0.0	0.0	0
RCIE	39.92	58.66	26.98	64.56	25
JCIE	81.26	-2.17	67.76	67.79	92
GCIE	52.23	-42.26	11.75	43.87	164
BCIE	30.57	1.15	-46.84	46.87	271

%Regularität

$g^*_{H,rel} = 41$

$g^*_{C,rel} = 52$



TG400-7, 5stufige Reihen für konstanten CIELAB Buntton 164/360 = 0.457 (links)

5stufige Reihen für konstanten CIELAB Buntton 164/360 = 0.457 (rechts)

BAM-Prüfvorlage TG40; Farbmatrik-Systeme ORS18 & MRS18input: $olv^* setrgbcolor$

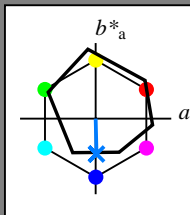
D65: 5stufige Farbreihen und Koordinaten-Daten für 10 Bunttöneoutput: *no change compared to input*

Eingabe: Farbmimetrisches Reflexions-System ORS18

für Buntton $h^* = lab^*h = 271/360 = 0.754$
 lab^*tch und lab^*nch

D65: Buntton B
 LCH*Ma: 42 45 271
 rgb*Ma: 0.0 0.49 1.0

Dreiecks-Helligkeit



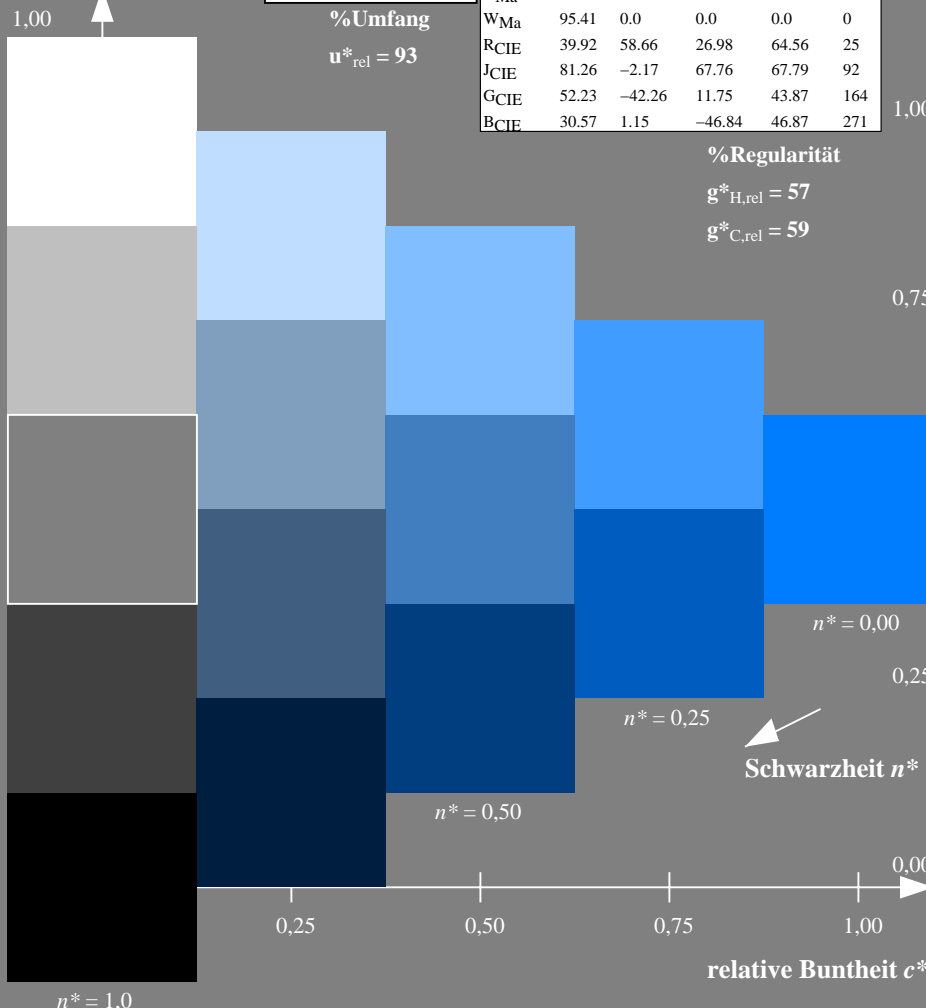
ORS18; adaptierte CIELAB-Daten

	$L^*=L^*_a$	a^*_a	b^*_a	$C^*_{ab,a}$	$h^*_{ab,a}$
OMa	47.94	65.37	50.52	82.62	38
YMa	50.37	-10.27	91.77	92.34	96
LMa	90.9	-62.79	34.95	71.87	151
CMa	58.62	-30.35	-45.01	54.3	236
VMa	25.71	31.11	-44.42	54.24	305
MMa	48.13	75.27	-8.35	75.73	354
NMa	18.01	0.0	0.0	0.0	0
WMa	95.41	0.0	0.0	0.0	0
RCIE	39.92	58.66	26.98	64.56	25
JCIE	81.26	-2.17	67.76	67.79	92
GCIE	52.23	-42.26	11.75	43.87	164
BCIE	30.57	1.15	-46.84	46.87	271

%Regularität

$g^*_{H,rel} = 57$

$g^*_{C,rel} = 59$



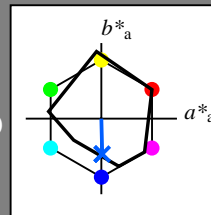
TG400-7, 5stufige Reihen für konstanten CIELAB Buntton 271/360 = 0.754 (links)

Ausgabe: Farbmimetrisches Reflexions-System MRS18

für Buntton $h^* = lab^*h = 271/360 = 0.754$
 lab^*tch und lab^*nch

D65: Buntton B
 LCH*Ma: 40 50 271
 rgb*Ma: 0.0 0.37 1.0

Dreiecks-Helligkeit



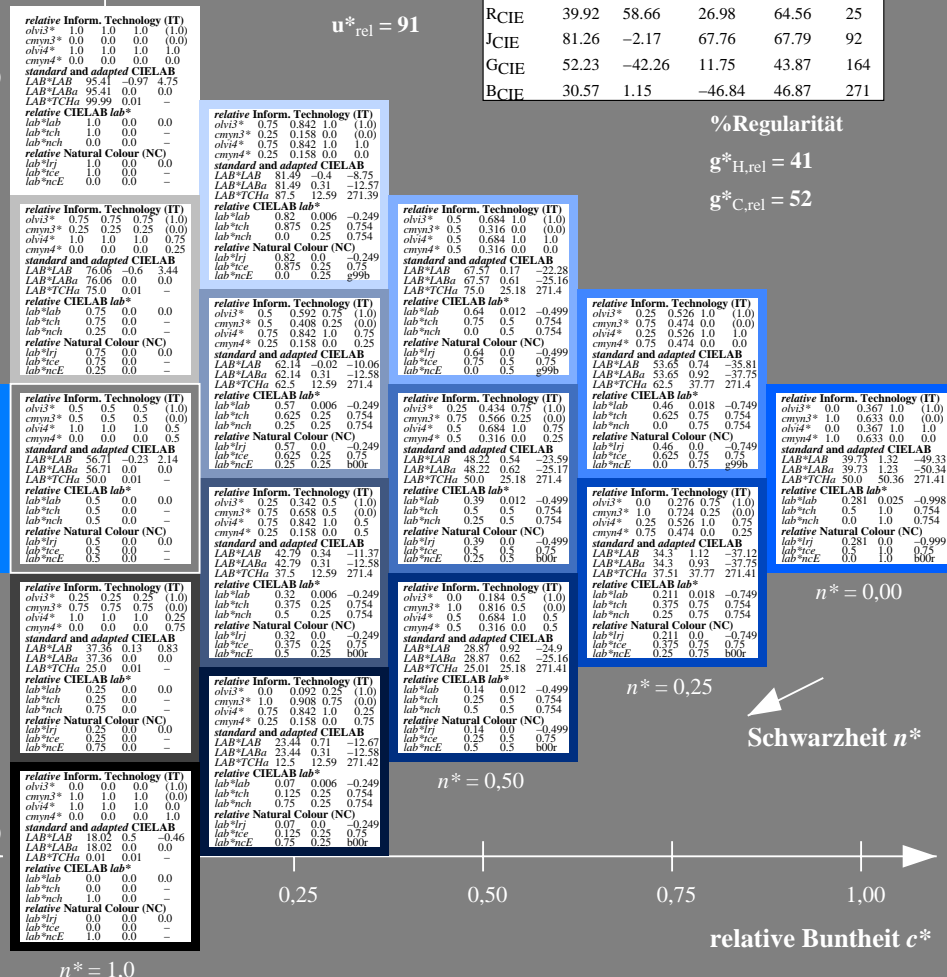
MRS18; adaptierte CIELAB-Daten

	$L^*=L^*_a$	a^*_a	b^*_a	$C^*_{ab,a}$	$h^*_{ab,a}$
RMa	49.63	66.96	38.37	77.18	30
JMa	90.7	-6.36	88.75	88.98	94
GMa	52.11	-69.73	9.44	70.37	172
G50BMa	45.03	-36.57	-28.47	46.36	218
BMa	36.65	23.19	-63.05	67.18	290
B50RMa	34.94	57.17	-44.26	72.31	322
NMa	18.01	0.0	0.0	0.0	0
WMa	95.41	0.0	0.0	0.0	0
RCIE	39.92	58.66	26.98	64.56	25
JCIE	81.26	-2.17	67.76	67.79	92
GCIE	52.23	-42.26	11.75	43.87	164
BCIE	30.57	1.15	-46.84	46.87	271

%Regularität

$g^*_{H,rel} = 41$

$g^*_{C,rel} = 52$



5 stufige Reihen für konstanten CIELAB Buntton 271/360 = 0.754 (rechts)

BAM-Prüfvorlage TG40; Farbmimetrische Systeme ORS18 & MRS18input: $olv^* setrgbcolor$

D65: 5stufige Farbreihen und Koordinaten-Daten für 10 Bunttöneoutput: *no change compared to input*